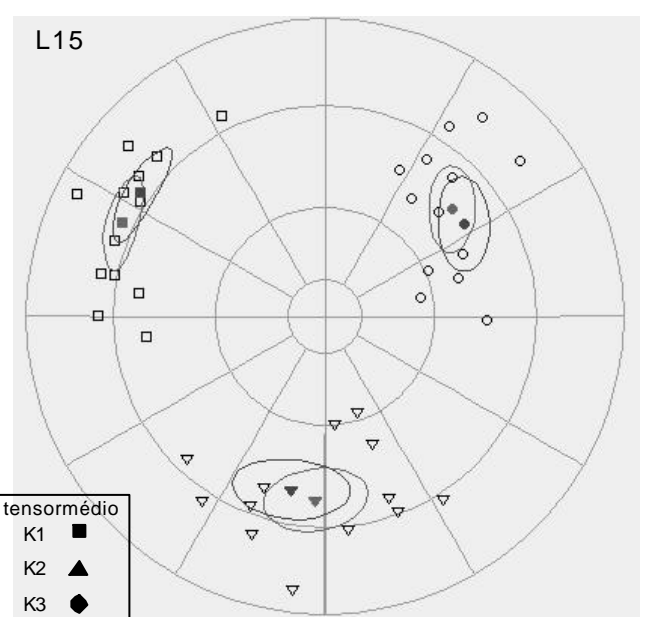
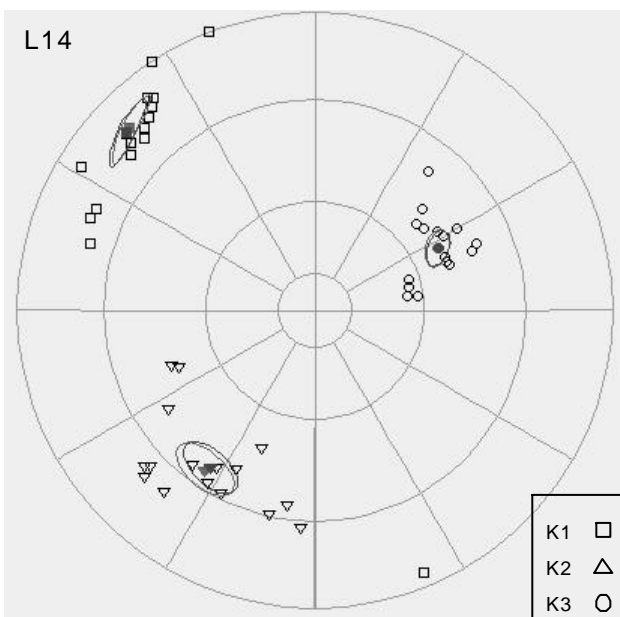
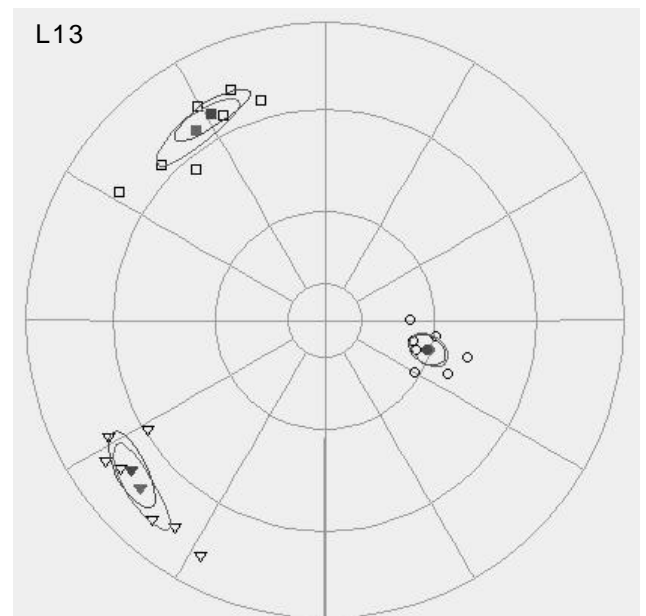
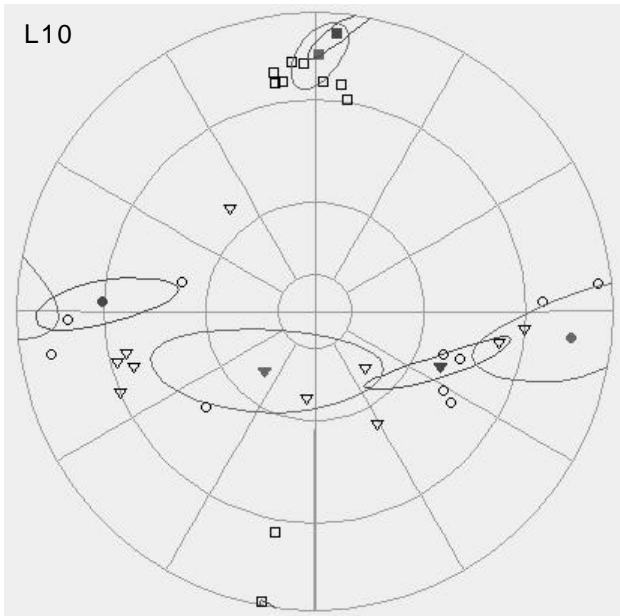
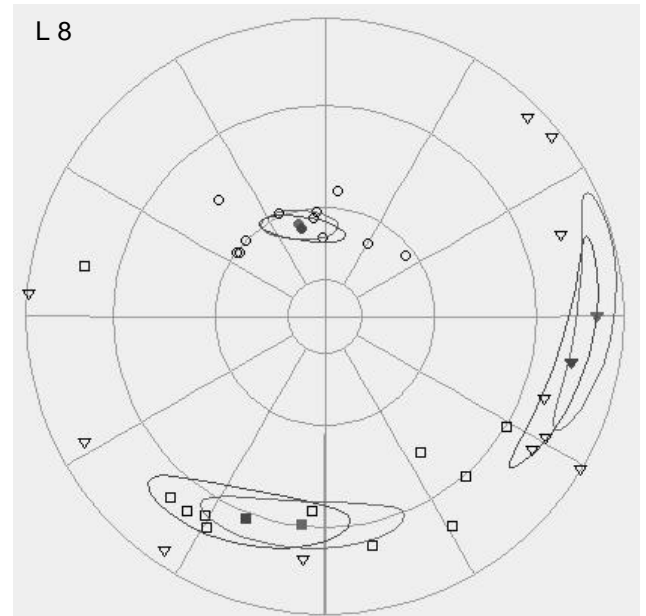
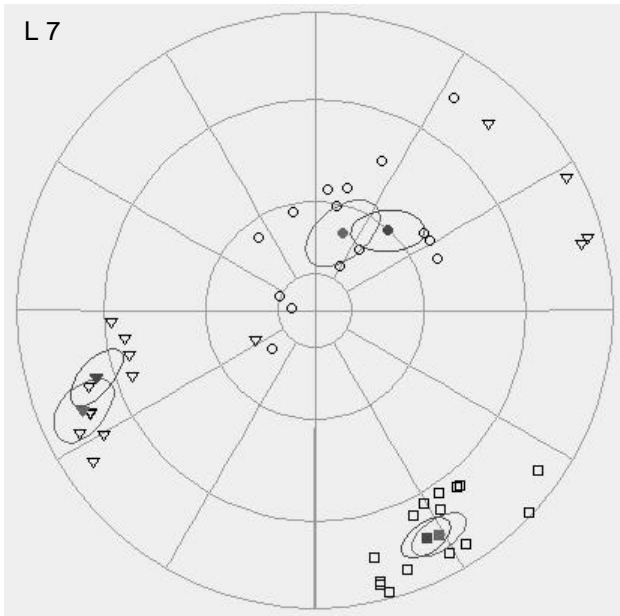
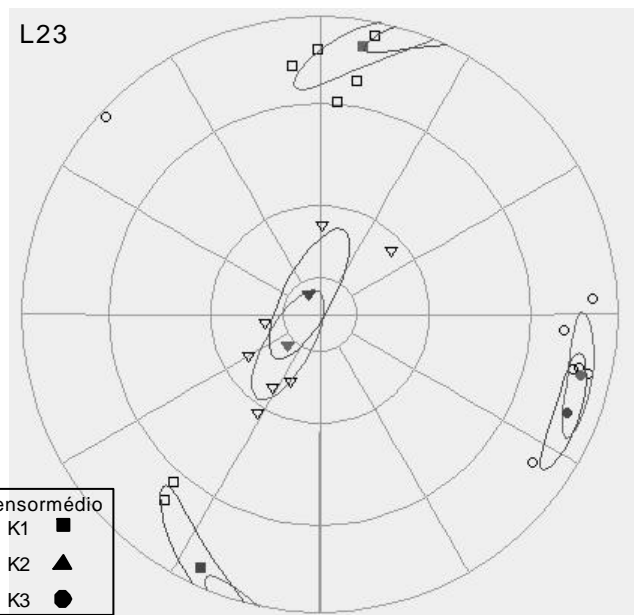
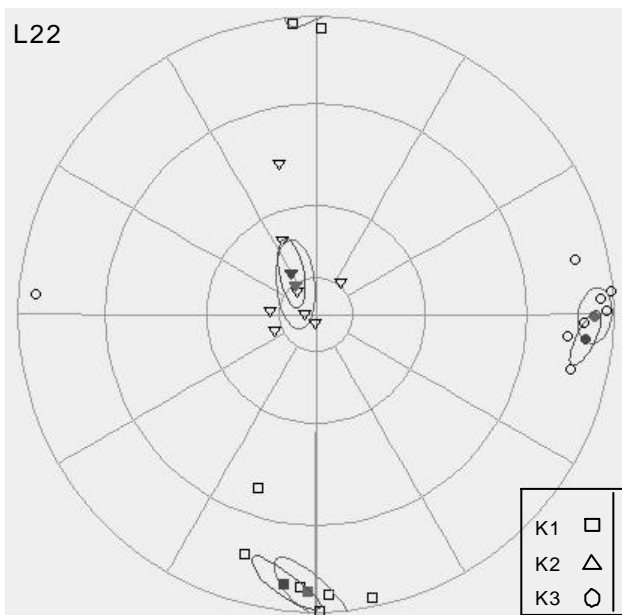
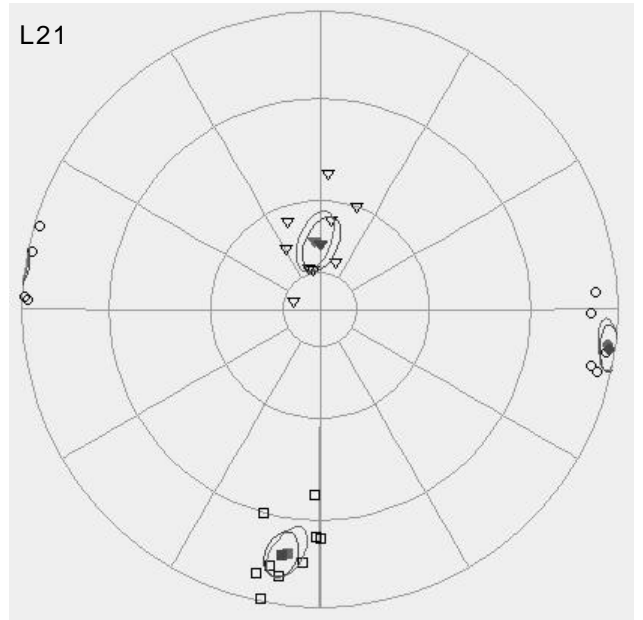
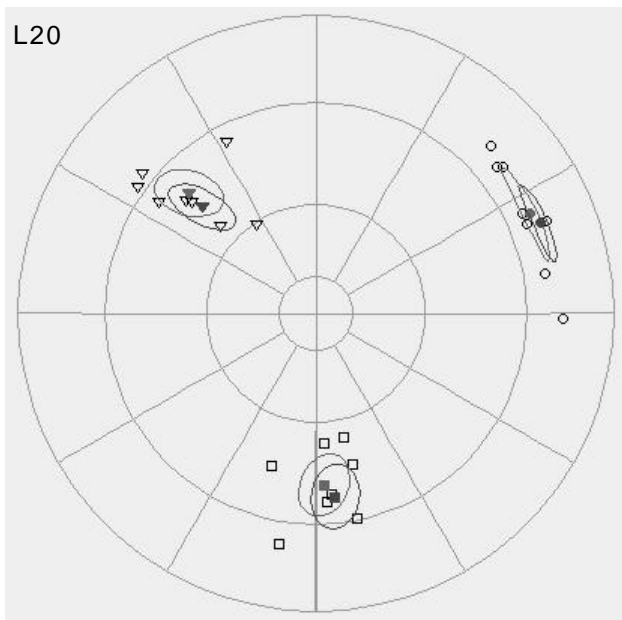
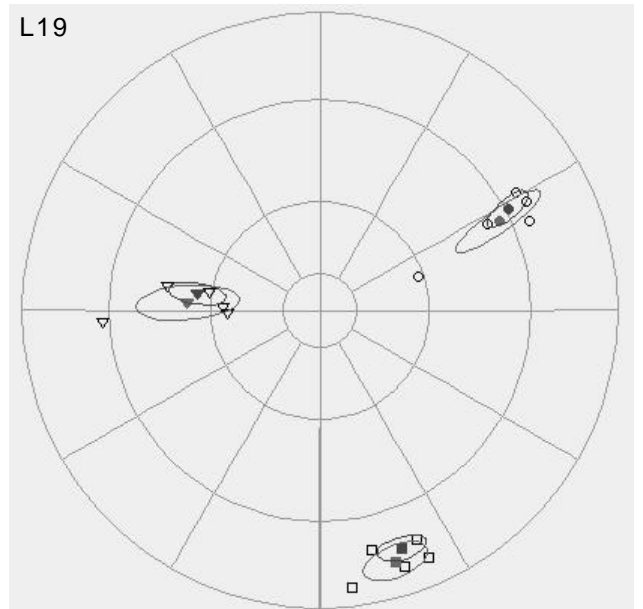
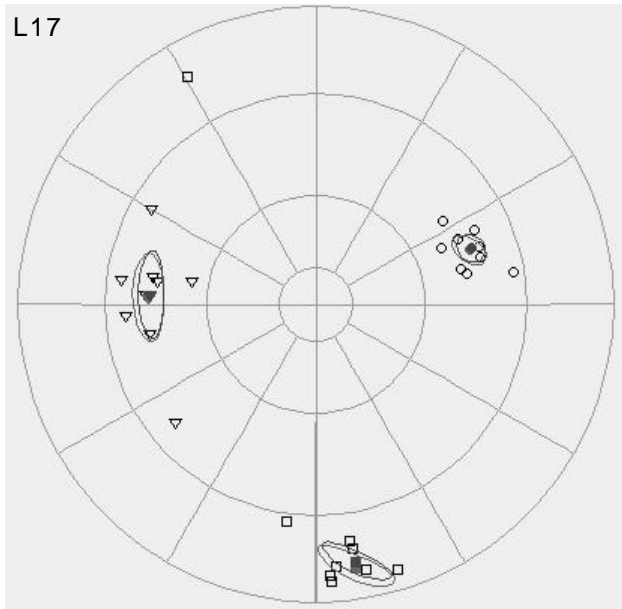


Figura.IV.49-Projecções estereográficas (rede de Schmidt; hemisfério inferior) com a análise estatística bivariada das atitudes dos tensores (K, K<sub>2</sub>, K<sub>3</sub>) e com os tensores médios. Locais de amostragem L1 a L6.



tensormédio	
K1 □	K1 ■
K2 △	K2 ▲
K3 ○	K3 ●

Figura.IV.50-Projeções estereográficas (rede de Schmidt; hemisfério inferior) com a análise estatística bivariada das atitudes dos tensores (K, K<sub>e</sub>K) e dos tensores médios. Locais de amostragem L8 a L10 e L13 a L15.



K1	□	tensormédio	K1	■
K2	△		K2	▲
K3	○		K3	●

Figura.IV.51-Projeções estereográficas (rede de Schmidt; hemisfério inferior) com a análise estatística bivariada das atitudes dos tensores ( $K, K_2, K_3$ ) e dos tensores médios. Locais de amostragem L17 e L19 a L23.